



UNIVERSITÄT ZU LÜBECK

Lifting in Gaussian Bayesian Networks

Mattis Hartwig

Institut für Informationssysteme, Universität zu Lübeck

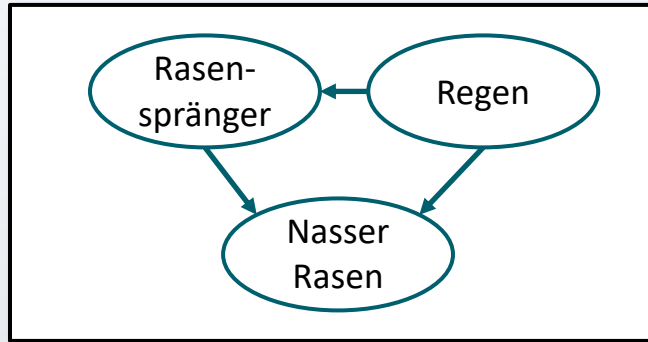
Lübeck, 30. Januar 2023



Der Titel lässt sich in drei Bestandteile zerlegen

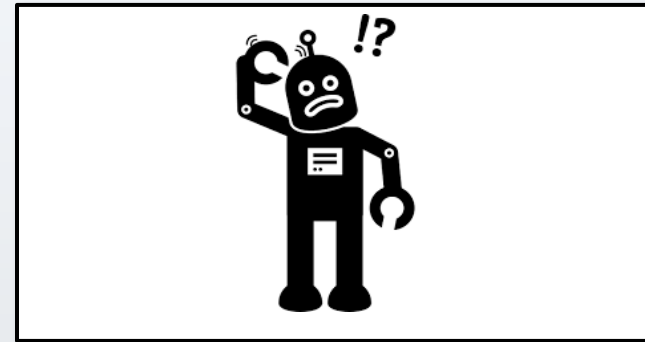


Probabilistic Graphical Models



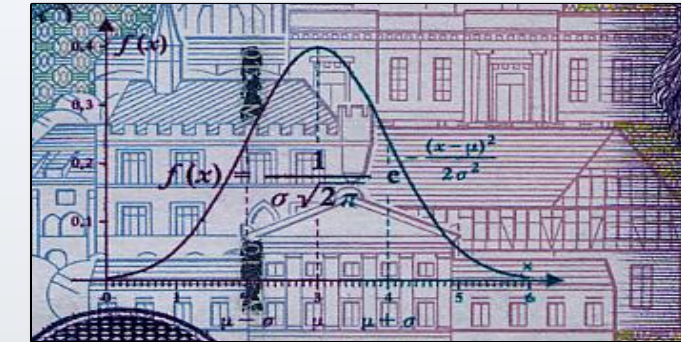
- Graphische Modelle sind eine **Kompakte Darstellung** einer Verbundwahrscheinlichkeit
- **Geeignet** um auch **kausale Beziehungen** zu modellieren

Efficient Query Answering



- Künstliche Agenten benötigen Antworten auf Modellanfragen
- **Schnellere Antwortzeit** erhöht **Reaktionsgeschwindigkeit** und damit Leistung des Agenten

Gaussian

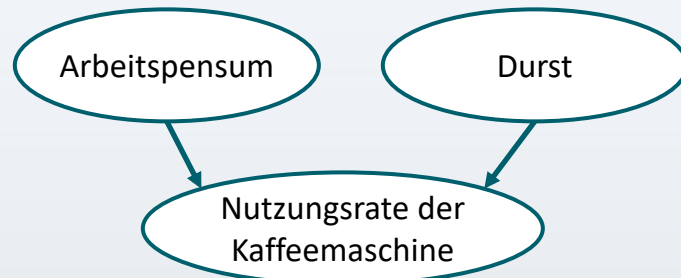


- **Kontinuierliche Variablen** benötigen eine **Dichtefunktion**
- Normalverteilung hat gute Eigenschaften in **Anwendungen**

Spezifische Anwendungsszenarien bedürfen neuer Methoden.

Im Folgenden schauen wir auf Gaußsche Bayessche Netze

Gaußsches Bayessches Netz (GBNs)



Beispiel

$$P(A) \sim \mathcal{N}(\mu_A, \sigma_A^2)$$

$$P(D) \sim \mathcal{N}(\mu_D, \sigma_D^2)$$

$$P(K|A, D) \sim \mathcal{N}(\mu_K + \beta_{A,K}(x_A - \mu_A) + \beta_{D,K}(x_D - \mu_D), \sigma_K^2)$$

Multivariate Verbundwahrscheinlichkeit (hier Normalverteilung)

$$\mathcal{N}(\mu, \Sigma)$$

Beispiel

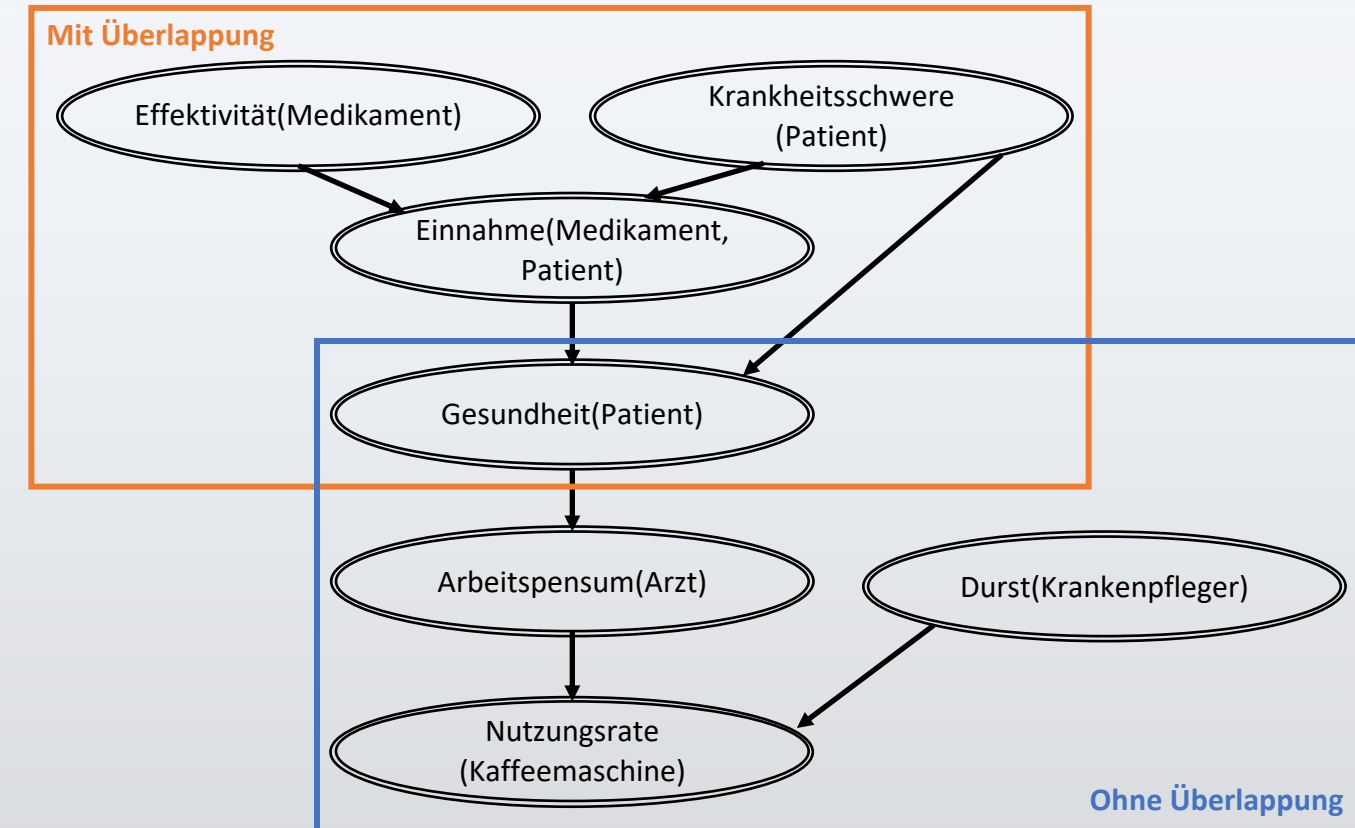
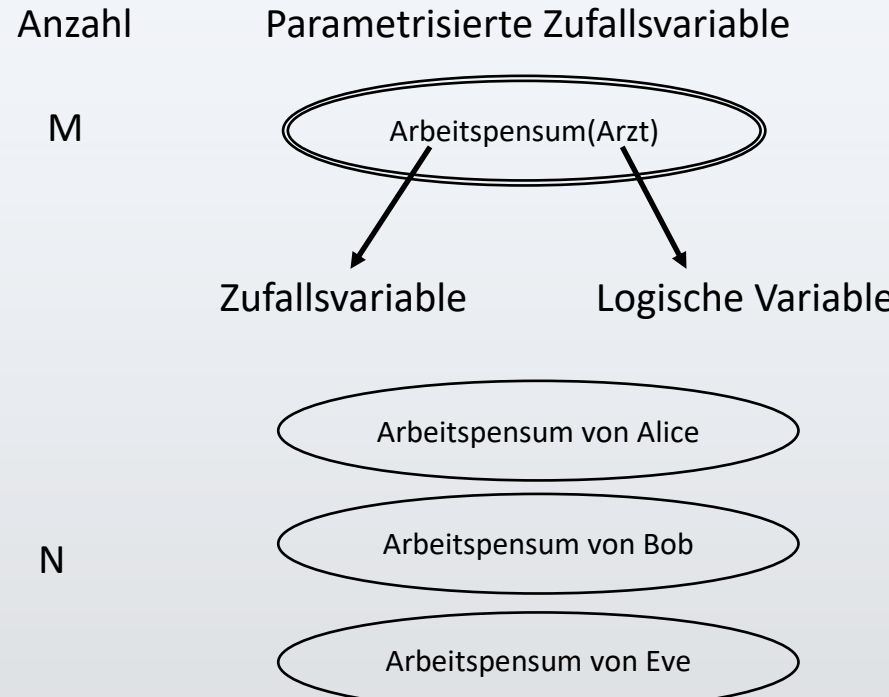
$$\mu = \begin{pmatrix} \mu_A \\ \mu_D \\ \mu_K \end{pmatrix}$$

$$\Sigma = \begin{pmatrix} \sigma_A^2 & 0 & \beta_{A,K}\sigma_A^2 \\ 0 & \sigma_D^2 & \beta_{D,K}\sigma_D^2 \\ \beta_{A,K}\sigma_A^2 & \beta_{D,K}\sigma_D^2 & \beta_{D,K}^2\sigma_D^2 + \beta_{A,K}^2\sigma_A^2 + \sigma_K^2 \end{pmatrix}$$

Allgemeine Formel

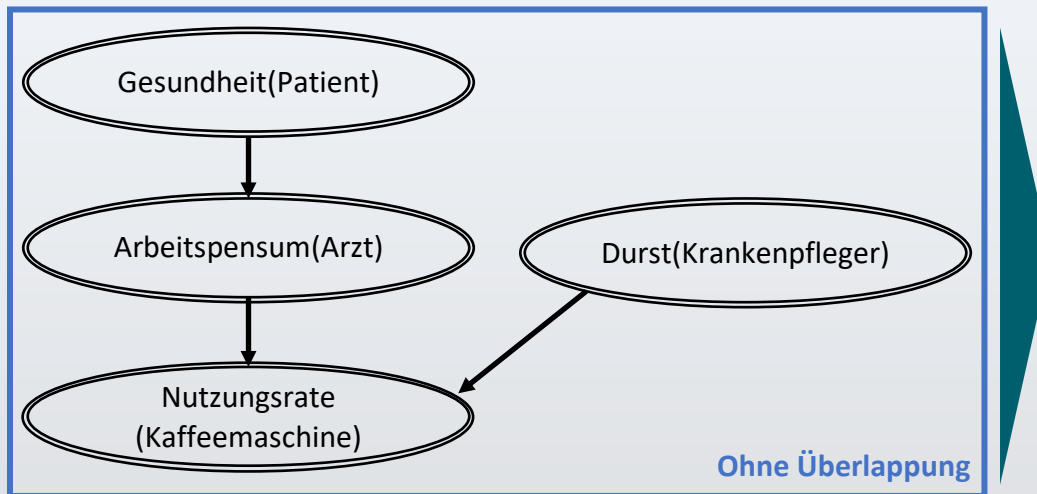
$$P(X_i | \mathbf{Pa}(X_i)) \sim \mathcal{N} \left(\mu_i + \sum_{X_k \in \mathbf{Pa}(X_i)} \beta_{k,i}(x_k - \mu_k), \sigma_i^2 \right)$$

Ein Beispielmodell aus parametrisierten Zufallsvariablen



Die Überlappung bezieht sich auf die Sequenz von logischen Variablen.

In einem Szenario, in dem sich die logischen Variablen nicht überlappen kommt, es zu einfachen Kovarianzmatrix-Strukturen



$$\Sigma = \begin{bmatrix} 1 & 0 & 0 & 0 & 0 & -2 & -2 & -12 & -12 & -12 \\ 0 & 1 & 0 & 0 & 0 & -2 & -2 & -12 & -12 & -12 \\ 0 & 0 & 2 & 0 & 0 & 0 & 0 & 4 & 4 & 4 \\ 0 & 0 & 0 & 2 & 0 & 0 & 0 & 4 & 4 & 4 \\ 0 & 0 & 0 & 0 & 2 & 0 & 0 & 4 & 4 & 4 \\ -2 & -2 & 0 & 0 & 0 & 11 & 8 & 57 & 57 & 57 \\ -2 & -2 & 0 & 0 & 0 & 8 & 11 & 57 & 57 & 57 \\ -12 & -12 & 4 & 4 & 4 & 57 & 57 & 370 & 366 & 366 \\ -12 & -12 & 4 & 4 & 4 & 57 & 57 & 366 & 370 & 366 \\ -12 & -12 & 4 & 4 & 4 & 57 & 57 & 366 & 366 & 370 \end{bmatrix}$$

Speicheraufwand NxN

$$\rho = \begin{bmatrix} 0 & 0 & -2 & -12 \\ 0 & 0 & 0 & 4 \\ -2 & 0 & 8 & 57 \\ -12 & 4 & 57 & 366 \end{bmatrix}$$

$$\sigma = \begin{pmatrix} 1 \\ 2 \\ 3 \\ 4 \end{pmatrix}$$

Speicheraufwand MxM

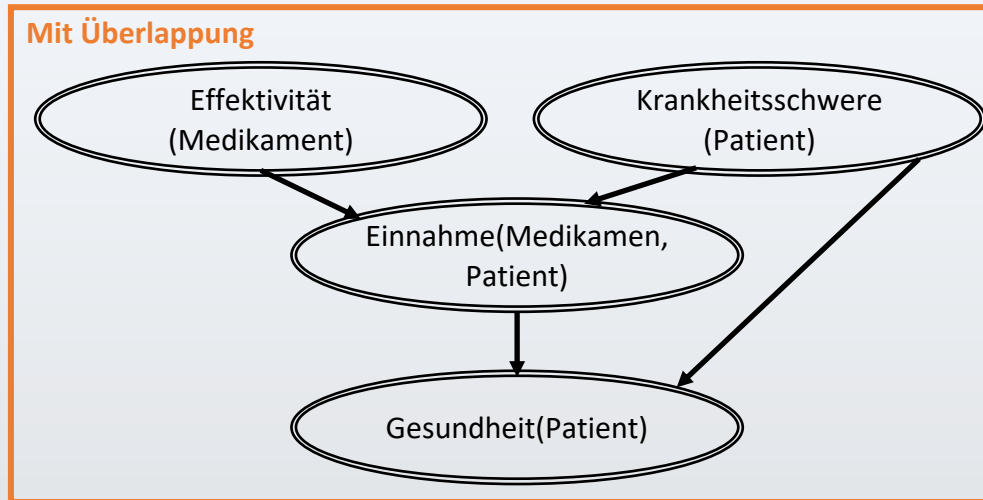
In einem Szenario, in dem sich die logischen Variablen nicht überlappen kommt, es zu einfachen Kovarianzmatrix-Strukturen

$$\Sigma = \begin{bmatrix} 1 & 0 & 0 & 0 & -2 & -2 & -12 & -12 & -12 \\ 0 & 1 & 0 & 0 & -2 & -2 & -12 & -12 & -12 \\ 0 & 0 & 2 & 0 & 0 & 0 & 4 & 4 & 4 \\ 0 & 0 & 0 & 2 & 0 & 0 & 4 & 4 & 4 \\ 0 & 0 & 0 & 0 & 2 & 0 & 4 & 4 & 4 \\ -2 & -2 & 0 & 0 & 0 & 11 & 8 & 57 & 57 \\ -2 & -2 & 0 & 0 & 0 & 8 & 11 & 57 & 57 \\ -12 & -12 & 4 & 4 & 4 & 57 & 57 & 370 & 366 \\ -12 & -12 & 4 & 4 & 4 & 57 & 57 & 366 & 370 \\ -12 & -12 & 4 & 4 & 4 & 57 & 57 & 366 & 370 \end{bmatrix}$$



$$\rho = \begin{bmatrix} 0 & 0 & -2 & -12 \\ 0 & 0 & 0 & 4 \\ -2 & 0 & 8 & 57 \\ -12 & 4 & 57 & 366 \end{bmatrix}$$

In Szenarien, in denen sich die logischen Variablen überlappen,
ist die Struktur etwas komplizierter



Speicheraufwand NxN

3-dimensionaler
Tensor

Speicheraufwand MxMx2^s

Formel für die Struktur von jedem Block

$$\Sigma_{gr(Y_s, Y_t)} = \sum_{q_{s,t} \in \Phi_{s,t}} \rho_{s,t}^{q_{s,t}} \bigotimes_{L \in \mathcal{L}_s \cup \mathcal{L}_t} \mathbf{J}_{\dim(L, \mathcal{L}_s) \times \dim(L, \mathcal{L}_t)}^{q \exp(q_{s,t}, L)}$$

Ziel ist es, Anfragen zu beantworten und Berechnungen weitestgehend mit der angehobenen Repräsentation durchzuführen

Anfrage (Query)

$$P(Q|E = e)$$

Anfrageterme

Evidenz

Antwort

$$P(Q|E = e) \sim \mathcal{N}(\mu^*, \Sigma^*)$$

$$\begin{aligned}\mu^* &= \mu_Q + \Sigma_{QE} \Sigma_{EE}^{-1} (e - \mu_E), \\ \Sigma^* &= \Sigma_{QQ} - \Sigma_{QE} \Sigma_{EE}^{-1} \Sigma_{EQ}.\end{aligned}$$

Lösungsweg

Nötige Operationen mit der angehobenen Repräsentation

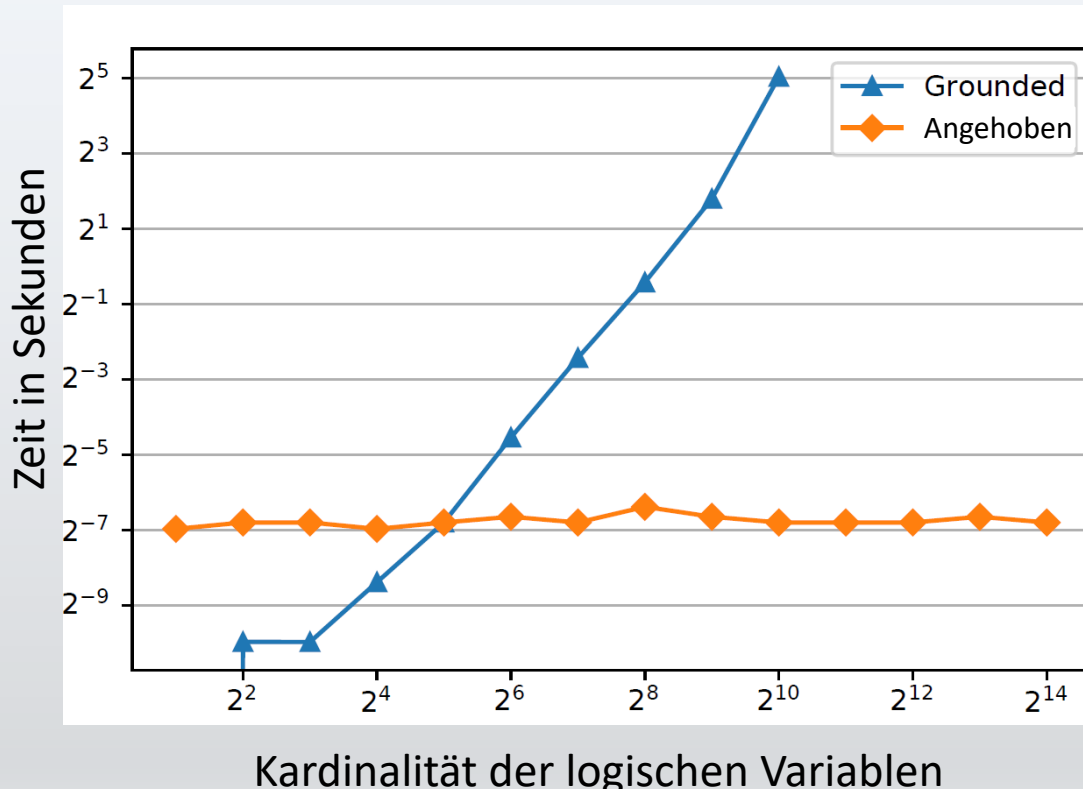
- Addition
- Multiplikation von Teilmatrizen
- Invertierung von Teilmatrizen

Notiz: Es gibt gewisse Symmetrie-Bedingungen in den Queries, damit diese mit der angehobenen Repräsentation gerechnet werden können.

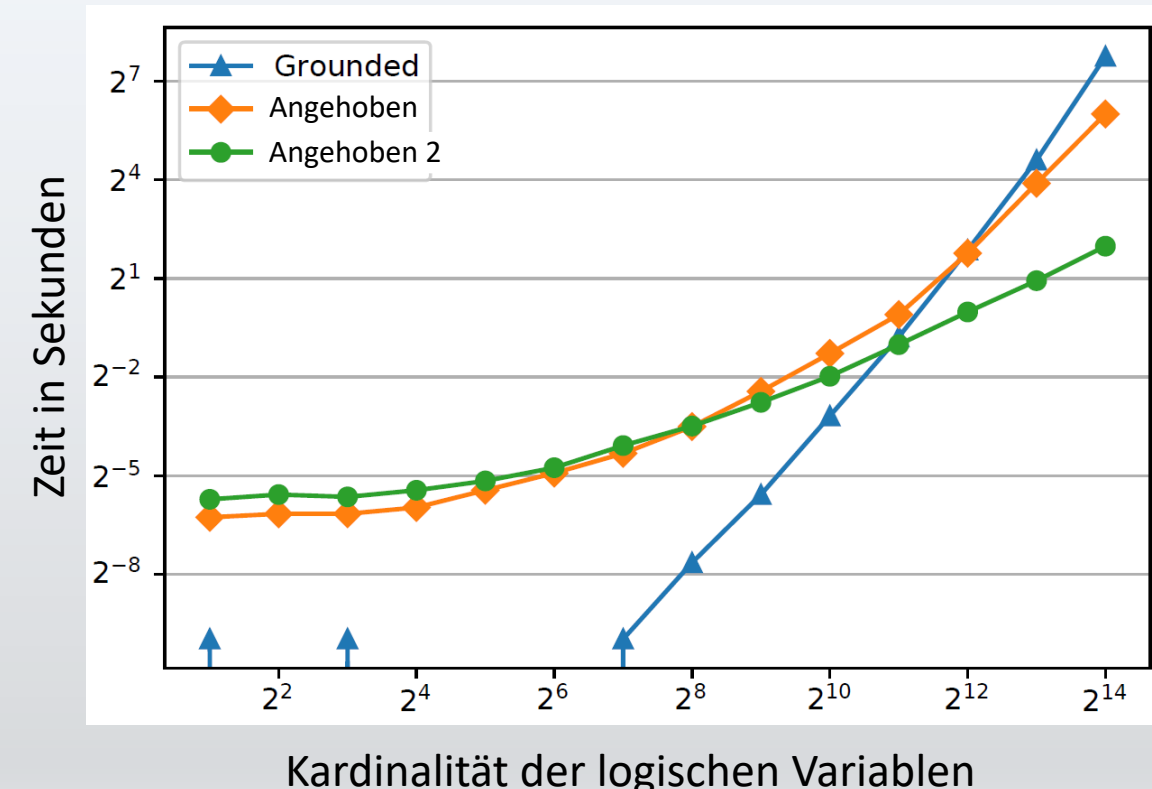
Die theoretischen Analysen zu den implementierten Algorithmen wurden ebenfalls ausführlich evaluiert



Konstruktion der Verbundwahrscheinlichkeit



Beantwortung von Fragen



Ausblick



Angehobene Repräsentationen für hybride Modelle

Behandlung von unsymmetrischen Queries

Lifted Message Passing

Causality

Approximate indistinguishability





Danke! Jetzt ist Zeit für Fragen.